占小波，杨静.黄连解毒汤对肝癌小鼠模型铁死亡相关蛋白表达的影响（见正文第 670 页）

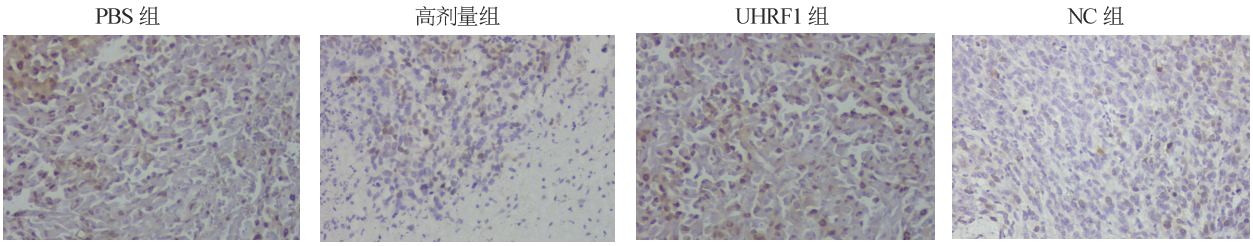
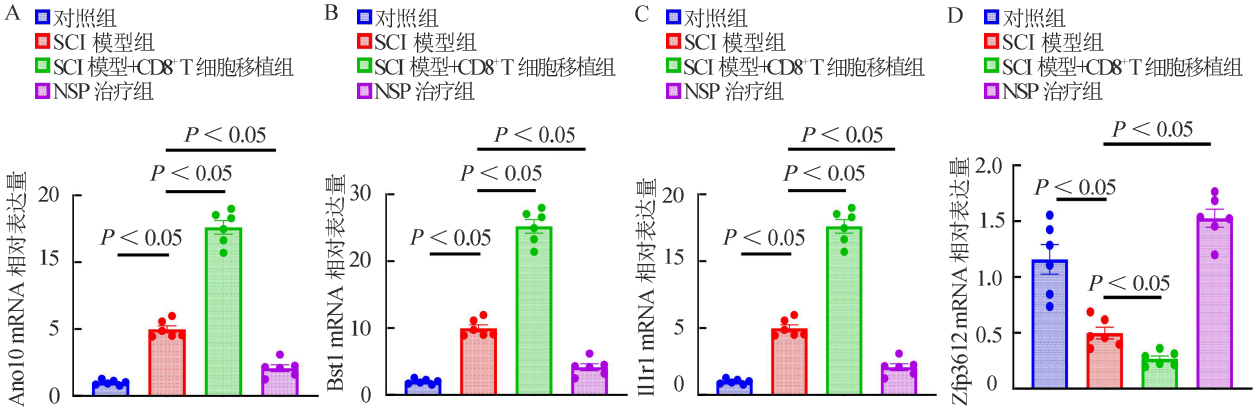


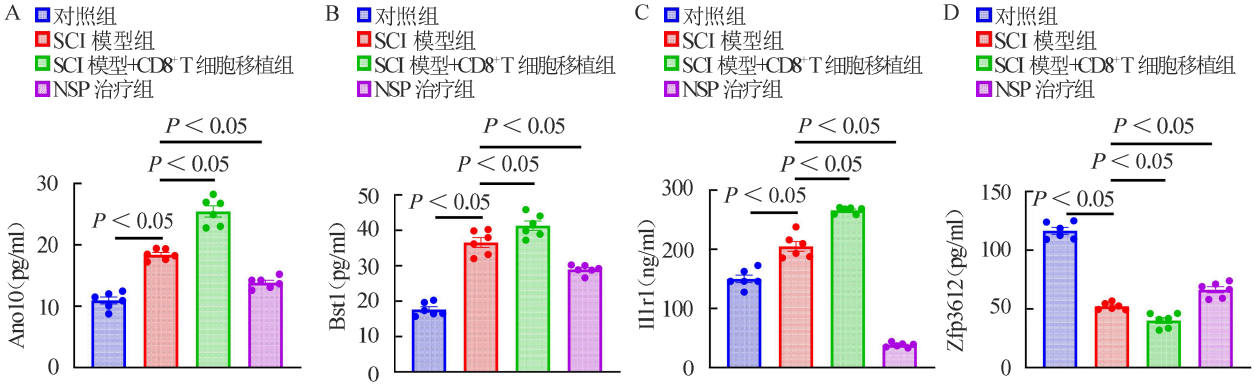
图 1　4 组小鼠肿瘤组织免疫组化图（HE 染色，×100）

宋骏，陈华春，倪小伟.NSP 在 PD-1 抑制剂相关脊髓损伤治疗中的应用（见正文第 675 页）



注：A 为 4 组小鼠 Ano10 mRNA 水平比较，B 为 4 组小鼠 Bst1 mRNA 水平比较，C 为 4 组小鼠 Il1r1 mRNA 水平比较，D 为 4 组小鼠 Zfp36l2 mRNA 水平比较。Ano10 为茴香胺 10，Bst1 为骨髓基质细胞抗原 1，Il1r1 为白介素 1 受体 I，Zfp36l2 为 ZFP36 环指蛋白样 2

图 2　4 组小鼠 Ano10、Bst1、Il1r1 和 Zfp36l2 mRNA 水平比较



注：A 为 4 组小鼠血清 Ano10 水平比较，B 为 4 组小鼠血清 Bst1 水平比较，C 为 4 组小鼠血清 Il1r1 水平比较，D 为 4 组小鼠血清 Zfp36l2 水平比较。Ano10 为茴香胺 10，Bst1 为骨髓基质细胞抗原 1，Il1r1 为白介素 1 受体 I，Zfp36l2 为 ZFP36 环指蛋白样 2

图 3　4 组小鼠血清 Ano10、Bst1、Il1r1 和 Zfp36l2 水平比较

蒋微微，康宗辉，郑媛媛.对话训练结合传统嗓音训练治疗女性教师声带小结的临床分析（见正文第 738 页）

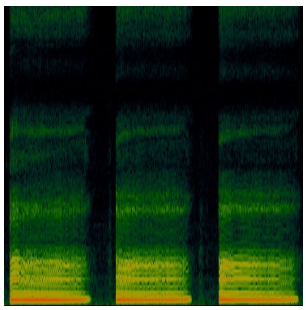


图 4　治疗前/a/窄带语谱图

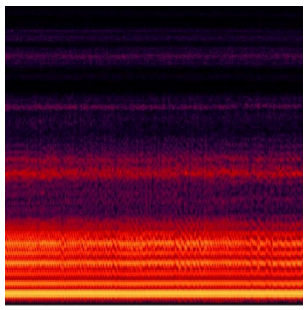


图 5　治疗前/a/频谱图

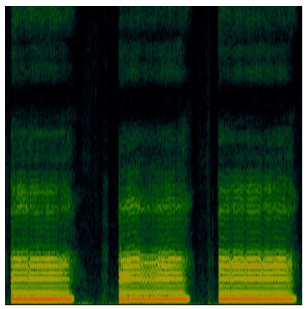


图 6　治疗后/a/窄带语谱图

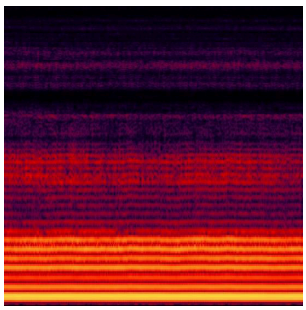


图 7　治疗后/a/频谱图